

# Fattorizzazione Nonnegativa di Matrici e Applicazioni alla Decomposizione di Immagini

---

Autore: Barbarino Giovanni

Relatori: Gemignani Luca

Romani Francesco

Controrelatore: Bigi Giancarlo

14 Ottobre 2016

Università di Pisa

**NMF**

---

Data una matrice  $A \in \mathbb{R}_+^{n \times m}$ , e un parametro naturale  $k$ , vogliamo trovare  $W \in \mathbb{R}_+^{n \times k}$  e  $H \in \mathbb{R}_+^{m \times k}$  che minimizzino

$$F(W, H) = \|A - WH^T\|_F^2.$$

# NMF

Data una matrice  $A \in \mathbb{R}_+^{n \times m}$ , e un parametro naturale  $k$ , vogliamo trovare  $W \in \mathbb{R}_+^{n \times k}$  e  $H \in \mathbb{R}_+^{m \times k}$  che minimizzino

$$F(W, H) = \|A - WH^T\|_F^2.$$

$$\begin{pmatrix} A \end{pmatrix} \sim \begin{pmatrix} W \end{pmatrix} \begin{pmatrix} H^T \end{pmatrix}$$



Data una matrice  $A \in \mathbb{R}_+^{n \times m}$ , e un parametro naturale  $k$ , vogliamo trovare  $W \in \mathbb{R}_+^{n \times k}$  e  $H \in \mathbb{R}_+^{m \times k}$  che minimizzino

$$F(W, H) = \|A - WH^T\|_F^2.$$

- Le colonne di  $A$  sono approssimate da combinazioni lineari nonnegative delle colonne di  $W$

$$A \sim WH^T \implies A_{:,i} \sim H_{i,1}W_{:,1} + H_{i,2}W_{:,2} + \cdots + H_{i,k}W_{:,k}.$$

- Scegliendo  $k$  piccolo, otteniamo una rappresentazione compressa dei dati in  $A$ .

Data una matrice  $A \in \mathbb{R}_+^{n \times m}$ , e un parametro naturale  $k$ , vogliamo trovare  $W \in \mathbb{R}_+^{n \times k}$  e  $H \in \mathbb{R}_+^{m \times k}$  che minimizzino

$$F(W, H) = \|A - WH^T\|_F^2.$$

- Le colonne di  $A$  sono approssimate da combinazioni lineari nonnegative delle colonne di  $W$

$$A \sim WH^T \implies A_{:,i} \sim H_{i,1}W_{:,1} + H_{i,2}W_{:,2} + \cdots + H_{i,k}W_{:,k}.$$

- Scegliendo  $k$  piccolo, otteniamo una rappresentazione compressa dei dati in  $A$ .

## Formulazioni Equivalenti

- È una delle tecniche di **self modeling curve resolution** nel campo della chemiometria.
- È equivalente al **Nested Polytopes Problem**.
- Usando la divergenza di Kullback-Leibler, diventa il **Probabilistic Latent Semantic Indexing**, usata in teoria dell'informazione.

## Applicazioni

La NMF è utilizzata in biologia, medicina, in analisi dei segnali, dei testi e delle immagini, e in generale dovunque ci sia bisogno di clusterizzare, analizzare e dare un'interpretazione a una grande quantità di dati nonnegativi.

## Formulazioni Equivalenti

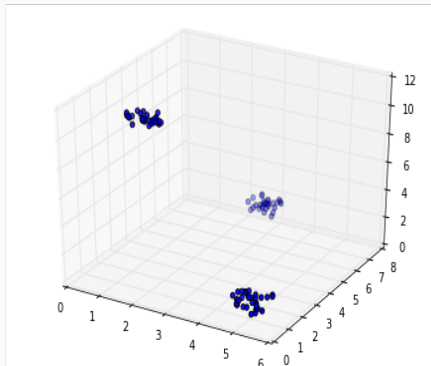
- È una delle tecniche di **self modeling curve resolution** nel campo della chemiometria.
- È equivalente al **Nested Polytopes Problem**.
- Usando la divergenza di Kullback-Leibler, diventa il **Probabilistic Latent Semantic Indexing**, usata in teoria dell'informazione.

## Applicazioni

La NMF è utilizzata in biologia, medicina, in analisi dei segnali, dei testi e delle immagini, e in generale dovunque ci sia bisogno di clusterizzare, analizzare e dare un'interpretazione a una grande quantità di dati nonnegativi.

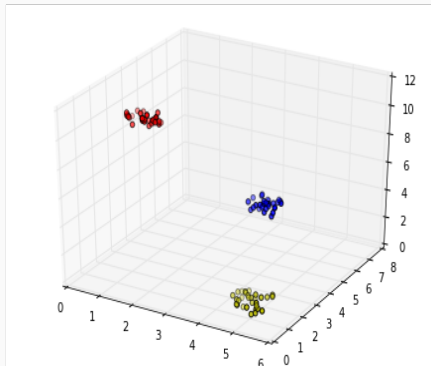
# Clustering

- Dati  $m$  punti  $x_1, \dots, x_m$  di  $R_+^n$ , possiamo disporli come colonne di  $A$ , ed applicare una NMF  $A \sim WH^T$  con  $k$  il numero di cluster voluti.
- Un punto  $x_i$  apparterrà al cluster  $j$  sse il coefficiente  $H_{ij}$  è il più grande della  $i$ -esima colonna  $H^T$ .



# Clustering

- Dati  $m$  punti  $x_1, \dots, x_m$  di  $R_+^n$ , possiamo disporli come colonne di  $A$ , ed applicare una NMF  $A \sim WH^T$  con  $k$  il numero di cluster voluti.
- Un punto  $x_i$  apparterrà al cluster  $j$  sse il coefficiente  $H_{ij}$  è il più grande della  $i$ -esima colonna  $H^T$ .

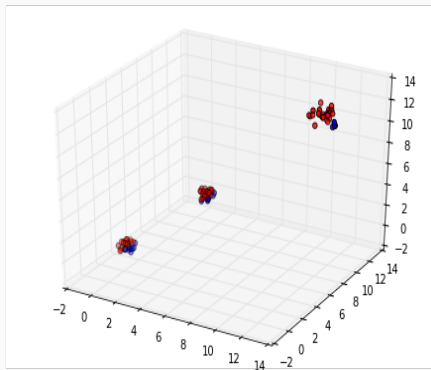


# Clustering

- Se i centroidi dei cluster sono linearmente dipendenti, sorgono dei problemi.
- Possono essere risolti applicando la NMF su una matrice di similarità dei punti.

$$A_{ij} = \exp(-c\|x_i - x_j\|^2).$$

- È possibile estendere la NMF in modo da trattare anche cluster per densità e prossimità.

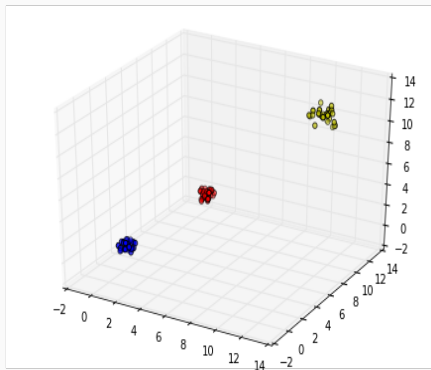


# Clustering

- Se i centroidi dei cluster sono linearmente dipendenti, sorgono dei problemi.
- Possono essere risolti applicando la NMF su una matrice di similarità dei punti.

$$A_{ij} = \exp(-c\|x_i - x_j\|^2).$$

- È possibile estendere la NMF in modo da trattare anche cluster per densità e prossimità.

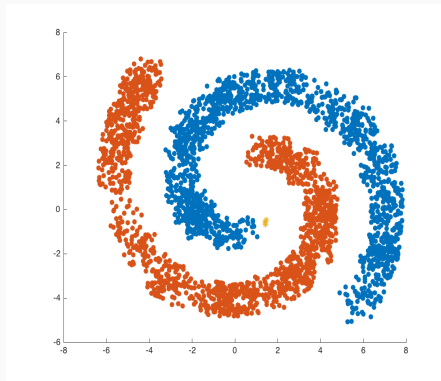


# Clustering

- Se i centroidi dei cluster sono linearmente dipendenti, sorgono dei problemi.
- Possono essere risolti applicando la NMF su una matrice di similarità dei punti.

$$A_{ij} = \exp(-c\|x_i - x_j\|^2).$$

- È possibile estendere la NMF in modo da trattare anche cluster per densità e prossimità.



# Algoritmi

---

La NMF è un problema di ottimizzazione non convessa e NP-Hard, dunque gli algoritmi risolvono due sottoproblemi convessi

$$W_{k+1} = \arg \min_{X \in \mathbb{R}_+^{n \times k}} \|A - XH_k^T\|_F^2$$

$$H_{k+1} = \arg \min_{X \in \mathbb{R}_+^{m \times k}} \|A - W_{k+1}X^T\|_F^2$$

## Teorema

I punti limite della successione  $(W_k, H_k)$  sono punti stazionari di

$$F(W, H) = \|A - WH^T\|_F^2$$

La NMF è un problema di ottimizzazione non convessa e NP-Hard, dunque gli algoritmi risolvono due sottoproblemi convessi

$$W_{k+1} = \arg \min_{X \in \mathbb{R}_+^{n \times k}} \|A - XH_k^T\|_F^2$$

$$H_{k+1} = \arg \min_{X \in \mathbb{R}_+^{m \times k}} \|A - W_{k+1}X^T\|_F^2$$

## Teorema

I punti limite della successione  $(W_k, H_k)$  sono punti stazionari di

$$F(W, H) = \|A - WH^T\|_F^2$$

## Active Set

Possiamo scomporre il sottoproblema convesso in  $n$  problemi di **Minimi Quadrati Nonnegativi (NNLS)**.

$$\min_{X \in \mathbb{R}_+^{k \times n}} \|HX - A^T\|_F^2 = \sum_{i=1}^n \min_{x_i \in \mathbb{R}_+^k} \|Hx_i - A_{i,:}\|_2^2$$

L'algoritmo **Active Set** risolve il NNLS scoprendo le posizioni di tutte le entrate zero della soluzione, attraverso un approccio primale-duale.

Questo metodo risolve esattamente il problema in un numero finito di passi, ma è spesso lento, dunque si preferiscono algoritmi iterativi.

## Active Set

Possiamo scomporre il sottoproblema convesso in  $n$  problemi di **Minimi Quadrati Nonnegativi (NNLS)**.

$$\min_{X \in \mathbb{R}_+^{k \times n}} \|HX - A^T\|_F^2 = \sum_{i=1}^n \min_{x_i \in \mathbb{R}_+^k} \|Hx_i - A_{i,:}\|_2^2$$

L'algoritmo **Active Set** risolve il NNLS scoprendo le posizioni di tutte le entrate zero della soluzione, attraverso un approccio primale-duale.

Questo metodo risolve esattamente il problema in un numero finito di passi, ma è spesso lento, dunque si preferiscono algoritmi iterativi.

## Active Set

Possiamo scomporre il sottoproblema convesso in  $n$  problemi di **Minimi Quadrati Nonnegativi (NNLS)**.

$$\min_{X \in \mathbb{R}_+^{k \times n}} \|HX - A^T\|_F^2 = \sum_{i=1}^n \min_{x_i \in \mathbb{R}_+^k} \|Hx_i - A_{i,:}\|_2^2$$

L'algoritmo **Active Set** risolve il NNLS scoprendo le posizioni di tutte le entrate zero della soluzione, attraverso un approccio primale-duale.

Questo metodo risolve esattamente il problema in un numero finito di passi, ma è spesso lento, dunque si preferiscono algoritmi iterativi.

# Multiplicative Update

Il **Multiplicative Update** (MU) è un metodo del gradiente che assicura la positività delle variabili ad ogni aggiornamento

$$H_{k+1} = H_k \cdot * \left[ W_k^T A ./ W_k^T W_k H_k^T \right]$$
$$W_{k+1} = W_k \cdot * \left[ A H_{k+1} ./ W_k H_{k+1}^T H_{k+1} \right]$$

Ad ogni iterazione, l'errore diminuisce, e tende a produrre soluzioni sparse, in quanto mantiene gli elementi nulli.

Non è assicurato che converga ad un punto stazionario, ma sperimentalmente è un valido algoritmo.

# Multiplicative Update

Il **Multiplicative Update** (MU) è un metodo del gradiente che assicura la positività delle variabili ad ogni aggiornamento

$$H_{k+1} = H_k \cdot * \left[ W_k^T A ./ W_k^T W_k H_k^T \right]$$
$$W_{k+1} = W_k \cdot * \left[ A H_{k+1} ./ W_k H_{k+1}^T H_{k+1} \right]$$

Ad ogni iterazione, l'errore diminuisce, e tende a produrre soluzioni sparse, in quanto mantiene gli elementi nulli.

Non è assicurato che converga ad un punto stazionario, ma sperimentalmente è un valido algoritmo.

# Multiplicative Update

Il **Multiplicative Update** (MU) è un metodo del gradiente che assicura la positività delle variabili ad ogni aggiornamento

$$H_{k+1} = H_k \cdot * \left[ W_k^T A ./ W_k^T W_k H_k^T \right]$$
$$W_{k+1} = W_k \cdot * \left[ A H_{k+1} ./ W_k H_{k+1}^T H_{k+1} \right]$$

Ad ogni iterazione, l'errore diminuisce, e tende a produrre soluzioni sparse, in quanto mantiene gli elementi nulli.

Non è assicurato che converga ad un punto stazionario, ma sperimentalmente è un valido algoritmo.

Se fissiamo  $H$ , e tutti gli elementi di  $W$  tranne  $W_{i,j}$ , è facile risolvere

$$\min_{W_{i,j} \in \mathbb{R}_+} \|A - WH^T\|_F^2$$

Il metodo dei **Minimi Quadrati Alternanti Gerarchici** (HALS) aggiorna le entrate di  $W$  in successione. Questo metodo assicura che ogni punto limite della successione generata sia un punto stazionario del problema.

Nel metodo della **Discesa delle Coordinate** (CD) calcoliamo dapprima il guadagno sull'errore, per decidere in che ordine aggiornare le singole entrate.

Se fissiamo  $H$ , e tutti gli elementi di  $W$  tranne  $W_{i,j}$ , è facile risolvere

$$\min_{W_{i,j} \in \mathbb{R}_+} \|A - WH^T\|_F^2$$

Il metodo dei **Minimi Quadrati Alternanti Gerarchici** (HALS) aggiorna le entrate di  $W$  in successione. Questo metodo assicura che ogni punto limite della successione generata sia un punto stazionario del problema.

Nel metodo della **Discesa delle Coordinate** (CD) calcoliamo dapprima il guadagno sull'errore, per decidere in che ordine aggiornare le singole entrate.

Se fissiamo  $H$ , e tutti gli elementi di  $W$  tranne  $W_{i,j}$ , è facile risolvere

$$\min_{W_{i,j} \in \mathbb{R}_+} \|A - WH^T\|_F^2$$

Il metodo dei **Minimi Quadrati Alternanti Gerarchici** (HALS) aggiorna le entrate di  $W$  in successione. Questo metodo assicura che ogni punto limite della successione generata sia un punto stazionario del problema.

Nel metodo della **Discesa delle Coordinate** (CD) calcoliamo dapprima il guadagno sull'errore, per decidere in che ordine aggiornare le singole entrate.

# Decomposizione di Immagini

---

# Immagini e NMF



Dato un set di immagini, possiamo codificarle come colonne di  $A$ , e quindi applicarvi la NMF

$$A \sim WH^T$$

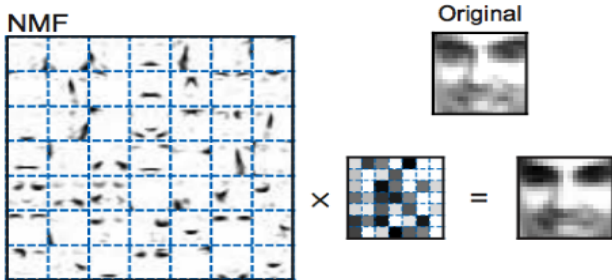
# Immagini e NMF



Dato un set di immagini, possiamo codificarle come colonne di  $A$ , e quindi applicarvi la NMF

$$A \sim WH^T$$

Le immagini vengono decomposte in componenti comuni:



# Immagini e NMF

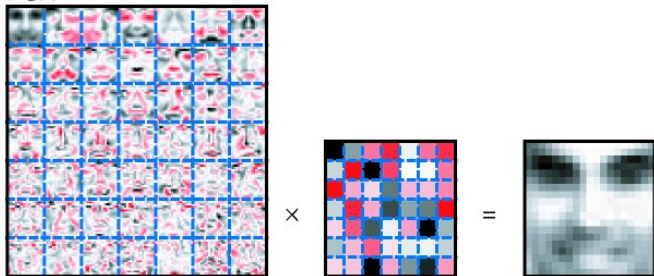


Dato un set di immagini, possiamo codificarle come colonne di  $A$ , e quindi applicarvi la NMF

$$A \sim WH^T$$

Se non richiediamo la positività, otteniamo le **eigenfaces**:

PCA



# Operatore Diamante



La NMF, tuttavia, non riesce a riconoscere componenti comuni a differenti immagini se sono locate in posti differenti.

Sostituiamo agli elementi di  $H$  delle funzioni  $H_{i,j} : \mathbb{R}^n \rightarrow \mathbb{R}^n$ , e definiamo l'**operatore diamante**:

$$(W \diamond H^T)_{:,i} := \sum_{j=1}^k H_{i,j}(W_{:,j})$$

La formula da minimizzare resta

$$\min_{W,H} \|A - W \diamond H^T\|_F^2$$

dove  $W$  contiene le componenti comuni alle immagini in  $A$ .

# Operatore Diamante



La NMF, tuttavia, non riesce a riconoscere componenti comuni a differenti immagini se sono locate in posti differenti.

Sostituiamo agli elementi di  $H$  delle funzioni

$H_{i,j} : \mathbb{R}^n \rightarrow \mathbb{R}^n$ , e definiamo l'**operatore diamante**:

$$(W \diamond H^T)_{:,i} := \sum_{j=1}^k H_{i,j}(W_{:,j})$$

La formula da minimizzare resta

$$\min_{W,H} \|A - W \diamond H^T\|_F^2$$

dove  $W$  contiene le componenti comuni alle immagini in  $A$ .

# Operatore Diamante



La NMF, tuttavia, non riesce a riconoscere componenti comuni a differenti immagini se sono locate in posti differenti.

Sostituiamo agli elementi di  $H$  delle funzioni

$H_{i,j} : \mathbb{R}^n \rightarrow \mathbb{R}^n$ , e definiamo l'**operatore diamante**:

$$(W \diamond H^T)_{:,i} := \sum_{j=1}^k H_{i,j}(W_{:,j})$$

La formula da minimizzare resta

$$\min_{W,H} \|A - W \diamond H^T\|_F^2$$

dove  $W$  contiene le componenti comuni alle immagini in  $A$ .

# Traslazioni

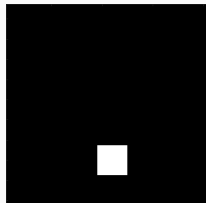
Scegliamo gli elementi di  $H$  tra le **traslazioni positive**, definite come coppie di numeri

$$H_{i,j} \equiv [r, s] \quad r \in \mathbb{R}_+ \quad s \in \frac{\mathbb{Z}}{n\mathbb{Z}}$$

Se lo applichiamo ad un vettore di  $\mathbb{R}^n$ , lo trasla ciclicamente di  $s$  posti, e lo moltiplica per  $r$ .

$$H_{i,j}(v) = r\sigma_s(v)$$

L'immagine corrispondente viene traslata di  $s$  pixel.



# Traslazioni

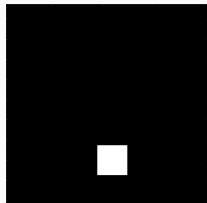
Scegliamo gli elementi di  $H$  tra le **traslazioni positive**, definite come coppie di numeri

$$H_{i,j} \equiv [r, s] \quad r \in \mathbb{R}_+ \quad s \in \frac{\mathbb{Z}}{n\mathbb{Z}}$$

Se lo applichiamo ad un vettore di  $\mathbb{R}^n$ , lo trasla ciclicamente di  $s$  posti, e lo moltiplica per  $r$ .

$$H_{i,j}(v) = r\sigma_s(v)$$

L'immagine corrispondente viene traslata di  $s$  pixel.



# Traslazioni

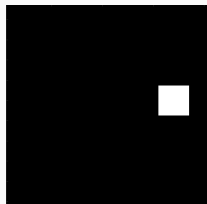
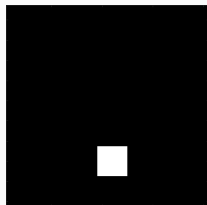
Scegliamo gli elementi di  $H$  tra le **traslazioni positive**, definite come coppie di numeri

$$H_{i,j} \equiv [r, s] \quad r \in \mathbb{R}_+ \quad s \in \frac{\mathbb{Z}}{n\mathbb{Z}}$$

Se lo applichiamo ad un vettore di  $\mathbb{R}^n$ , lo trasla ciclicamente di  $s$  posti, e lo moltiplica per  $r$ .

$$H_{i,j}(v) = r\sigma_s(v)$$

L'immagine corrispondente viene traslata di  $s$  pixel.



## PermNMF

Data una matrice  $A \in \mathbb{R}_+^{n \times m}$ , e un parametro naturale  $k$ , vogliamo risolvere

$$\min_{W, H} \|A - W \diamond H^T\|_F^2 \quad W \in \mathbb{R}_+^{n \times k} \quad H \in \left( \mathbb{R}_+ \times \frac{\mathbb{Z}}{n\mathbb{Z}} \right)^{m \times k}$$

Come nel caso classico, spezziamo il problema in due

$$\min_{X \in \mathbb{R}_+^{n \times k}} \|A - X \diamond H^T\|_F^2 \quad \min_{X \in \left( \mathbb{R}_+ \times \frac{\mathbb{Z}}{n\mathbb{Z}} \right)^{m \times k}} \|A - W \diamond X^T\|_F^2$$

Il primo è un problema convesso, ma il secondo contiene una parte discreta. Vediamo come affrontarli.

## PermNMF

Data una matrice  $A \in \mathbb{R}_+^{n \times m}$ , e un parametro naturale  $k$ , vogliamo risolvere

$$\min_{W, H} \|A - W \diamond H^T\|_F^2 \quad W \in \mathbb{R}_+^{n \times k} \quad H \in \left( \mathbb{R}_+ \times \frac{\mathbb{Z}}{n\mathbb{Z}} \right)^{m \times k}$$

Come nel caso classico, spezziamo il problema in due

$$\min_{X \in \mathbb{R}_+^{n \times k}} \|A - X \diamond H^T\|_F^2 \quad \min_{X \in \left( \mathbb{R}_+ \times \frac{\mathbb{Z}}{n\mathbb{Z}} \right)^{m \times k}} \|A - W \diamond X^T\|_F^2$$

Il primo è un problema convesso, ma il secondo contiene una parte discreta. Vediamo come affrontarli.

# NMF e Traslazioni

## PermNMF

Data una matrice  $A \in \mathbb{R}_+^{n \times m}$ , e un parametro naturale  $k$ , vogliamo risolvere

$$\min_{W, H} \|A - W \diamond H^T\|_F^2 \quad W \in \mathbb{R}_+^{n \times k} \quad H \in \left( \mathbb{R}_+ \times \frac{\mathbb{Z}}{n\mathbb{Z}} \right)^{m \times k}$$

Come nel caso classico, spezziamo il problema in due

$$\min_{X \in \mathbb{R}_+^{n \times k}} \|A - X \diamond H^T\|_F^2 \quad \min_{X \in \left( \mathbb{R}_+ \times \frac{\mathbb{Z}}{n\mathbb{Z}} \right)^{m \times k}} \|A - W \diamond X^T\|_F^2$$

Il primo è un problema convesso, ma il secondo contiene una parte discreta. Vediamo come affrontarli.

## Multiplicative Update

NMF classico

$$W \leftarrow W .* (AH) ./ (WH^T H)$$

PermNMF

$$W \leftarrow W .* (A \diamond H') ./ (W \diamond H^T \diamond H')$$

## Gradiente Proiettato

$$W \leftarrow (W - \alpha \nabla_W F(W, H))_+$$

$$\nabla_W \|A - W \diamond H^T\|_F^2 = -2(A - W \diamond H^T) \diamond H',$$

## Multiplicative Update

NMF classico

PermNMF

$$W \leftarrow W .* (AH) ./ (WH^T H)$$

$$W \leftarrow W .* (A \diamond H') ./ (W \diamond H^T \diamond H')$$

## Gradiente Proiettato

$$W \leftarrow (W - \alpha \nabla_W F(W, H))_+$$

$$\nabla_W \|A - W \diamond H^T\|_F^2 = -2(A - W \diamond H^T) \diamond H',$$

## Multiplicative Update

NMF classico

PermNMF

$$W \leftarrow W .* (AH) ./ (WH^T H) \quad W \leftarrow W .* (A \diamond H') ./ (W \diamond H^T \diamond H')$$

## Gradiente Proiettato

$$W \leftarrow (W - \alpha \nabla_W F(W, H))_+$$

$$\nabla_W \|A - W \diamond H^T\|_F^2 = -2(A - W \diamond H^T) \diamond H',$$

## Multiplicative Update

NMF classico

PermNMF

$$W \leftarrow W .* (AH) ./ (WH^T H) \quad W \leftarrow W .* (A \diamond H') ./ (W \diamond H^T \diamond H')$$

## Gradiente Proiettato

$$W \leftarrow (W - \alpha \nabla_W F(W, H))_+$$

$$\nabla_W \|A - W \diamond H^T\|_F^2 = -2(A - W \diamond H^T) \diamond H',$$

## PermNLS

Dati due vettori  $v, w \in \mathbb{R}^n$ , trova la traslazione positiva  $\tau \equiv [r, s]$  che minimizza

$$\|v - \tau(w)\|^2$$

- Se fissiamo  $s$ , allora lo sappiamo risolvere

$$r_s := \arg \min_{r \in \mathbb{R}_+} \|v - r\sigma_s(w)\|^2 = \max \left\{ 0, \frac{v^T \sigma_s(w)}{\|w\|^2} \right\}$$

$$\|v - r_s \sigma_s(w)\|^2 = \|v\|^2 - \frac{(v^T \sigma_s(w))^2}{\|w\|^2}$$

- È ora possibile minimizzare sugli  $r_s$ :

$$\arg \min_s \|v - r_s \sigma_s(w)\|^2 = \arg \max_s v^T \sigma_s(w)$$

e l'ultima operazione è una moltiplicazione tra un vettore e una matrice circolante.

## PermNLS

Dati due vettori  $v, w \in \mathbb{R}^n$ , trova la traslazione positiva  $\tau \equiv [r, s]$  che minimizza

$$\|v - \tau(w)\|^2$$

- Se fissiamo  $s$ , allora lo sappiamo risolvere

$$r_s := \arg \min_{r \in \mathbb{R}_+} \|v - r\sigma_s(w)\|^2 = \max \left\{ 0, \frac{v^T \sigma_s(w)}{\|w\|^2} \right\}$$

$$\|v - r_s \sigma_s(w)\|^2 = \|v\|^2 - \frac{(v^T \sigma_s(w))^2}{\|w\|^2}$$

- È ora possibile minimizzare sugli  $r_s$ :

$$\arg \min_s \|v - r_s \sigma_s(w)\|^2 = \arg \max_s v^T \sigma_s(w)$$

e l'ultima operazione è una moltiplicazione tra un vettore e una matrice circolante.

## PermNLS

Dati due vettori  $v, w \in \mathbb{R}^n$ , trova la traslazione positiva  $\tau \equiv [r, s]$  che minimizza

$$\|v - \tau(w)\|^2$$

- Se fissiamo  $s$ , allora lo sappiamo risolvere

$$r_s := \arg \min_{r \in \mathbb{R}_+} \|v - r\sigma_s(w)\|^2 = \max \left\{ 0, \frac{v^T \sigma_s(w)}{\|w\|^2} \right\}$$

$$\|v - r_s \sigma_s(w)\|^2 = \|v\|^2 - \frac{(v^T \sigma_s(w))^2}{\|w\|^2}$$

- È ora possibile minimizzare sugli  $r_s$ :

$$\arg \min_s \|v - r_s \sigma_s(w)\|^2 = \arg \max_s v^T \sigma_s(w)$$

e l'ultima operazione è una moltiplicazione tra un vettore e una matrice circolante.

## PermNLS

Dati due vettori  $v, w \in \mathbb{R}^n$ , trova la traslazione positiva  $\tau \equiv [r, s]$  che minimizza

$$\|v - \tau(w)\|^2$$

- Se fissiamo  $s$ , allora lo sappiamo risolvere

$$r_s := \arg \min_{r \in \mathbb{R}_+} \|v - r\sigma_s(w)\|^2 = \max \left\{ 0, \frac{v^T \sigma_s(w)}{\|w\|^2} \right\}$$

$$\|v - r_s \sigma_s(w)\|^2 = \|v\|^2 - \frac{(v^T \sigma_s(w))^2}{\|w\|^2}$$

- È ora possibile minimizzare sugli  $r_s$ :

$$\arg \min_s \|v - r_s \sigma_s(w)\|^2 = \arg \max_s v^T \sigma_s(w)$$

e l'ultima operazione è una moltiplicazione tra un vettore e una matrice circolante.

# Vector PermNLS

## Vector PermNLS

Dato un vettore  $v \in \mathbb{R}^n$ , e un set di vettori  $w_1, w_2, \dots, w_k \in \mathbb{R}^n$ , trovare le permutazioni positive  $\tau_1, \dots, \tau_k$  che minimizzano

$$\|v - (\tau_1(w_1) + \tau_2(w_2) + \dots + \tau_k(w_k))\|^2$$

Fissando tutte le variabili  $\tau_i$  tranne una, il problema si riduce ad un PermNLS che sappiamo risolvere, dunque aggiorniamo le  $\tau_i$  sequenzialmente.

Se chiamiamo  $W$  la matrice con colonne  $w_i$ , e  $x$  il vettore dei  $\tau_i$ , allora possiamo riscriverlo come

$$\min_x \|v - W \diamond x\|^2 \quad v \in \mathbb{R}^n \quad W \in \mathbb{R}^{n \times k}$$

# Vector PermNLS

## Vector PermNLS

Dato un vettore  $v \in \mathbb{R}^n$ , e un set di vettori  $w_1, w_2, \dots, w_k \in \mathbb{R}^n$ , trovare le permutazioni positive  $\tau_1, \dots, \tau_k$  che minimizzano

$$\|v - (\tau_1(w_1) + \tau_2(w_2) + \dots + \tau_k(w_k))\|^2$$

Fissando tutte le variabili  $\tau_i$  tranne una, il problema si riduce ad un PermNLS che sappiamo risolvere, dunque aggiorniamo le  $\tau_i$  sequenzialmente.

Se chiamiamo  $W$  la matrice con colonne  $w_i$ , e  $x$  il vettore dei  $\tau_i$ , allora possiamo riscriverlo come

$$\min_x \|v - W \diamond x\|^2 \quad v \in \mathbb{R}^n \quad W \in \mathbb{R}^{n \times k}$$

# Vector PermNLS

## Vector PermNLS

Dato un vettore  $v \in \mathbb{R}^n$ , e un set di vettori  $w_1, w_2, \dots, w_k \in \mathbb{R}^n$ , trovare le permutazioni positive  $\tau_1, \dots, \tau_k$  che minimizzano

$$\|v - (\tau_1(w_1) + \tau_2(w_2) + \dots + \tau_k(w_k))\|^2$$

Fissando tutte le variabili  $\tau_i$  tranne una, il problema si riduce ad un PermNLS che sappiamo risolvere, dunque aggiorniamo le  $\tau_i$  sequenzialmente.

Se chiamiamo  $W$  la matrice con colonne  $w_i$ , e  $x$  il vettore dei  $\tau_i$ , allora possiamo riscriverlo come

$$\min_x \|v - W \diamond x\|^2 \quad v \in \mathbb{R}^n \quad W \in \mathbb{R}^{n \times k}$$

# Vector PermNLS

## Vector PermNLS

Dato un vettore  $v \in \mathbb{R}^n$ , e un set di vettori  $w_1, w_2, \dots, w_k \in \mathbb{R}^n$ , trovare le permutazioni positive  $\tau_1, \dots, \tau_k$  che minimizzano

$$\|v - (\tau_1(w_1) + \tau_2(w_2) + \dots + \tau_k(w_k))\|^2$$

Fissando tutte le variabili  $\tau_i$  tranne una, il problema si riduce ad un PermNLS che sappiamo risolvere, dunque aggiorniamo le  $\tau_i$  sequenzialmente.

Se chiamiamo  $W$  la matrice con colonne  $w_i$ , e  $x$  il vettore dei  $\tau_i$ , allora possiamo riscriverlo come

$$\min_x \|v - W \diamond x\|^2 \quad v \in \mathbb{R}^n \quad W \in \mathbb{R}^{n \times k}$$

## Aggiornamento di $H$

Il problema dell'aggiornamento di  $H$  è

$$\min_{X \in (\mathbb{R}_+ \times \frac{\mathbb{Z}}{n\mathbb{Z}})^{m \times k}} \|A - W \diamond X^T\|_F^2$$

Questo si può spezzare come

$$\min_{X \in (\mathbb{R}_+ \times \frac{\mathbb{Z}}{n\mathbb{Z}})^{m \times k}} \|A - W \diamond X^T\|_F^2 = \sum_{i=1}^m \min_{x_i \in (\mathbb{R}_+ \times \frac{\mathbb{Z}}{n\mathbb{Z}})^k} \|A_{:,i} - W \diamond x_i\|^2$$

Possiamo quindi risolvere  $m$  problemi Vector PermNMF ed ottenere infine l'aggiornamento di  $H$ .

## Aggiornamento di $H$

Il problema dell'aggiornamento di  $H$  è

$$\min_{X \in (\mathbb{R}_+ \times \frac{\mathbb{Z}}{n\mathbb{Z}})^{m \times k}} \|A - W \diamond X^T\|_F^2$$

Questo si può spezzare come

$$\min_{X \in (\mathbb{R}_+ \times \frac{\mathbb{Z}}{n\mathbb{Z}})^{m \times k}} \|A - W \diamond X^T\|_F^2 = \sum_{i=1}^m \min_{x_i \in (\mathbb{R}_+ \times \frac{\mathbb{Z}}{n\mathbb{Z}})^k} \|A_{:,i} - W \diamond x_i\|^2$$

Possiamo quindi risolvere  $m$  problemi Vector PermNMF ed ottenere infine l'aggiornamento di  $H$ .

# Aggiornamento di $H$

Il problema dell'aggiornamento di  $H$  è

$$\min_{X \in (\mathbb{R}_+ \times \frac{\mathbb{Z}}{n\mathbb{Z}})^{m \times k}} \|A - W \diamond X^T\|_F^2$$

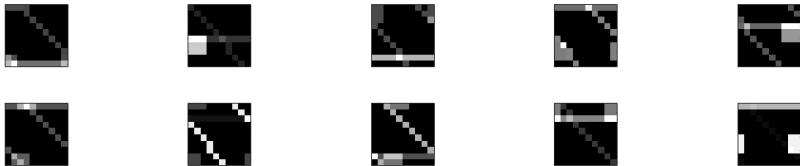
Questo si può spezzare come

$$\min_{X \in (\mathbb{R}_+ \times \frac{\mathbb{Z}}{n\mathbb{Z}})^{m \times k}} \|A - W \diamond X^T\|_F^2 = \sum_{i=1}^m \min_{x_i \in (\mathbb{R}_+ \times \frac{\mathbb{Z}}{n\mathbb{Z}})^k} \|A_{:,i} - W \diamond x_i\|^2$$

Possiamo quindi risolvere  $m$  problemi Vector PermNMF ed ottenere infine l'aggiornamento di  $H$ .

# Esperimento

Generiamo dieci immagini come sovrapposizione di una linea, un quadrato e una diagonale

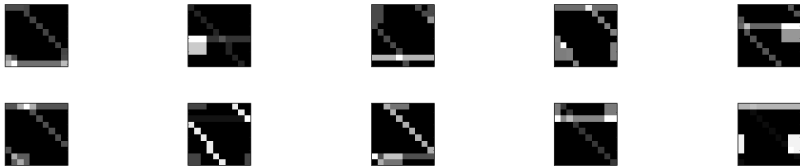


Riportiamo le prime iterazioni del metodo



# Esperimento

Generiamo dieci immagini come sovrapposizione di una linea, un quadrato e una diagonale

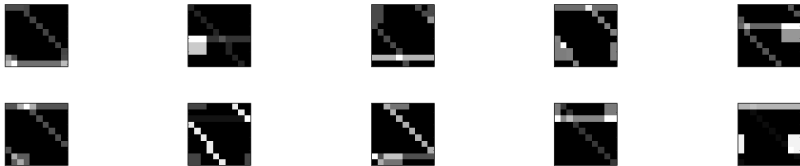


Riportiamo le prime iterazioni del metodo

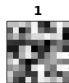
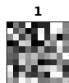


# Esperimento

Generiamo dieci immagini come sovrapposizione di una linea, un quadrato e una diagonale

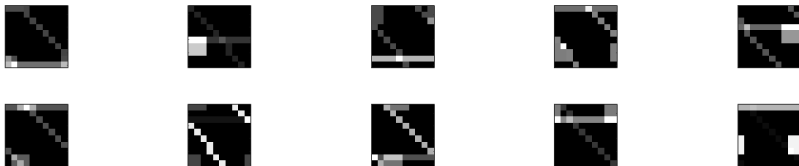


Riportiamo le prime iterazioni del metodo

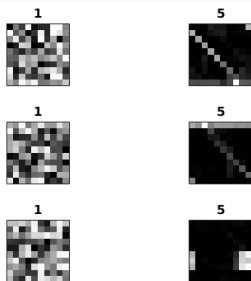


# Esperimento

Generiamo dieci immagini come sovrapposizione di una linea, un quadrato e una diagonale

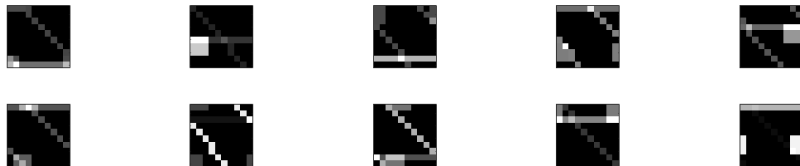


Riportiamo le prime iterazioni del metodo

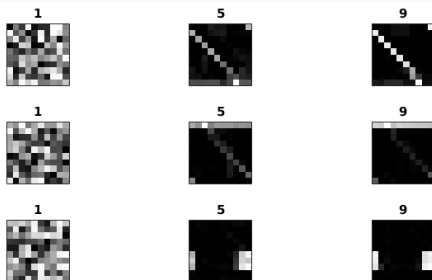


# Esperimento

Generiamo dieci immagini come sovrapposizione di una linea, un quadrato e una diagonale

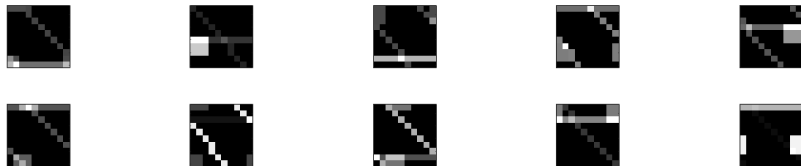


Riportiamo le prime iterazioni del metodo

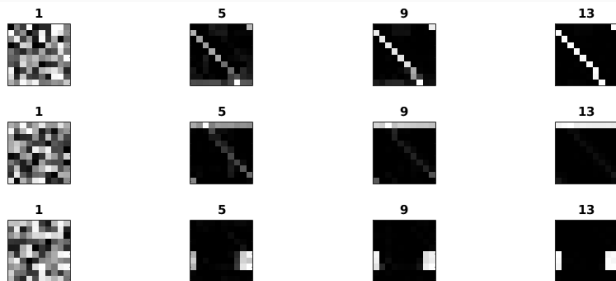


# Esperimento

Generiamo dieci immagini come sovrapposizione di una linea, un quadrato e una diagonale

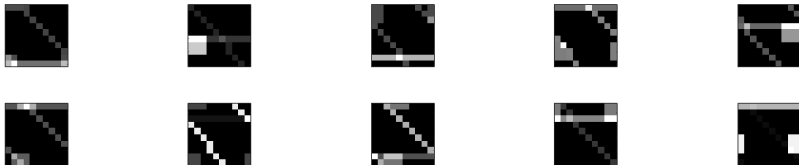


Riportiamo le prime iterazioni del metodo

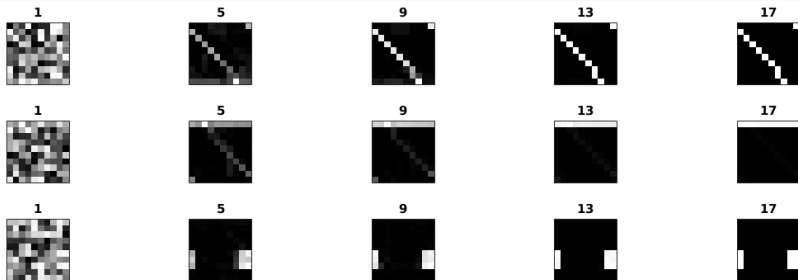


# Esperimento

Generiamo dieci immagini come sovrapposizione di una linea, un quadrato e una diagonale



Riportiamo le prime iterazioni del metodo



# Estensione

Per riconoscere una componente ripetuta più volte nella stessa immagine, basta ripetere due volte il metodo:

- 

$$A \sim \widetilde{W} \diamond H_1^T$$

- 

$$\widetilde{W} \sim W \diamond H_2^T$$

↓

$$A \sim (W \diamond H_2^T) \diamond H_1^T$$

$$\sim W \diamond (H_2^T \diamond H_1^T)$$



# Estensione

Per riconoscere una componente ripetuta più volte nella stessa immagine, basta ripetere due volte il metodo:

- 

$$A \sim \widetilde{W} \diamond H_1^T$$

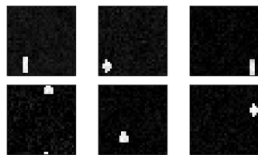
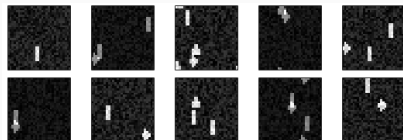
- 

$$\widetilde{W} \sim W \diamond H_2^T$$

↓

$$A \sim (W \diamond H_2^T) \diamond H_1^T$$

$$= W \diamond (H_2^T \diamond H_1^T)$$



# Estensione

Per riconoscere una componente ripetuta più volte nella stessa immagine, basta ripetere due volte il metodo:

- 

$$A \sim \widetilde{W} \diamond H_1^T$$

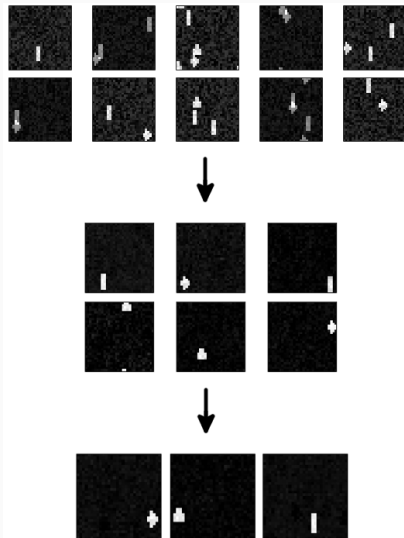
- 

$$\widetilde{W} \sim W \diamond H_2^T$$

↓

$$A \sim (W \diamond H_2^T) \diamond H_1^T$$

$$= W \diamond (H_2^T \diamond H_1^T)$$



# Estensione

Per riconoscere una componente ripetuta più volte nella stessa immagine, basta ripetere due volte il metodo:

- 

$$A \sim \widetilde{W} \diamond H_1^T$$

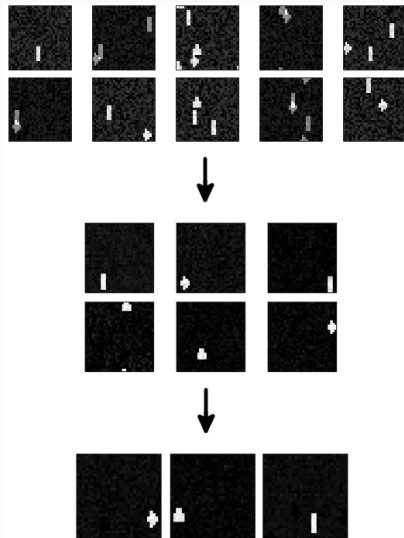
- 

$$\widetilde{W} \sim W \diamond H_2^T$$

↓

$$A \sim (W \diamond H_2^T) \diamond H_1^T$$

$$= W \diamond (H_2^T \diamond H_1^T)$$



- Il dominio di  $H$  si può estendere a sottoinsiemi di  $\mathbb{R}S_n$  per codificare più trasformazioni delle immagini.
- Le componenti cercate spesso sono immagini sparse e disgiunte tra loro, dunque si possono imporre limiti sulla norma di  $W$  per ottenere migliori risultati.
- Si possono introdurre degli *shift reali*, che permettono di definire una derivata anche su  $H$ , con l'interpolazione delle immagini attraverso spline cicliche.
- Lavori recenti si concentrano su varianti in cui gli elementi di  $A$  e  $W$  diventano oggetti su varietà.

- Il dominio di  $H$  si può estendere a sottoinsiemi di  $\mathbb{R}S_n$  per codificare più trasformazioni delle immagini.
- Le componenti cercate spesso sono immagini sparse e disgiunte tra loro, dunque si possono imporre limiti sulla norma di  $W$  per ottenere migliori risultati.
- Si possono introdurre degli *shift reali*, che permettono di definire una derivata anche su  $H$ , con l'interpolazione delle immagini attraverso spline cicliche.
- Lavori recenti si concentrano su varianti in cui gli elementi di  $A$  e  $W$  diventano oggetti su varietà.

# Lavori Futuri

- Il dominio di  $H$  si può estendere a sottoinsiemi di  $\mathbb{R}S_n$  per codificare più trasformazioni delle immagini.
- Le componenti cercate spesso sono immagini sparse e disgiunte tra loro, dunque si possono imporre limiti sulla norma di  $W$  per ottenere migliori risultati.
- Si possono introdurre degli *shift reali*, che permettono di definire una derivata anche su  $H$ , con l'interpolazione delle immagini attraverso spline cicliche.
- Lavori recenti si concentrano su varianti in cui gli elementi di  $A$  e  $W$  diventano oggetti su varietà.

- Il dominio di  $H$  si può estendere a sottoinsiemi di  $\mathbb{R}S_n$  per codificare più trasformazioni delle immagini.
- Le componenti cercate spesso sono immagini sparse e disgiunte tra loro, dunque si possono imporre limiti sulla norma di  $W$  per ottenere migliori risultati.
- Si possono introdurre degli *shift reali*, che permettono di definire una derivata anche su  $H$ , con l'interpolazione delle immagini attraverso spline cicliche.
- Lavori recenti si concentrano su varianti in cui gli elementi di  $A$  e  $W$  diventano oggetti su varietà.

- Il dominio di  $H$  si può estendere a sottoinsiemi di  $\mathbb{R}S_n$  per codificare più trasformazioni delle immagini.
- Le componenti cercate spesso sono immagini sparse e disgiunte tra loro, dunque si possono imporre limiti sulla norma di  $W$  per ottenere migliori risultati.
- Si possono introdurre degli *shift reali*, che permettono di definire una derivata anche su  $H$ , con l'interpolazione delle immagini attraverso spline cicliche.
- Lavori recenti si concentrano su varianti in cui gli elementi di  $A$  e  $W$  diventano oggetti su varietà.